

مقاله پژوهشی

مجله دانشگاه علوم پزشکی رفسنجان
دوره ۱۵، فروردین ۱۳۹۵، ۵۰-۳۷

بررسی کارایی جاذب نانو حفره سیلیکایی MCM-41 عامل دار شده با گروه های آلی دی آمینی

جهت حذف رنگ اسید اورانز ۷ از محلول های آبی و فاضلاب کارخانه نساجی

محمد ملکوتیان^۱، مریم مکی^۲

دریافت مقاله: ۹۴/۴/۲۰ ارسال مقاله به نویسنده جهت اصلاح: ۹۴/۷/۱۲ دریافت اصلاحیه از نویسنده: ۹۴/۱۱/۲۱ پذیرش مقاله: ۹۴/۱۲/۱

چکیده

زمینه و هدف: صنایع تولید رنگ و نساجی حجم زیادی از پساب های حاوی مواد خطرناک و سمی تولید می نمایند. فرایند جذب، یکی از روش های مناسب جهت حذف رنگ از صنایع آلوده می باشد. این پژوهش با هدف حذف رنگ اسید اورانز ۷ از محلول های آبی با استفاده از نانو حفره سیلیکایی (Mobile Composition of Matter NO.41) MCM-41 اصلاح شده با گروه های آلی دی آمینی ($\text{NH}_2\text{-MCM-41}$) انجام شد.

مواد و روش ها: این مطالعه آزمایشگاهی در بازه زمانی ۶ ماه بر روی نمونه سینتیک و نمونه واقعی صنعت بافندگی سریریاف کویر کرمان انجام شد. ابتدا جاذب نانو حفره سیلیکایی MCM-41 سنتز گردید و با گروه های آلی دی آمینی عامل دار شد. عوامل pH، مقدار جاذب، زمان تماس، غلظت های متفاوت رنگ اسید اورانز ۷ بر روی نمونه سینتیک بررسی و بهینه شد. آزمایش ها در شرایط بهینه بر روی نمونه واقعی نیز انجام گرفت. به منظور درک بهتر فرایند جذب سینتیک جذب و ایزو ترم های تعادل بررسی شد. برای تجزیه تحلیل داده ها از آزمون های رگرسیون، و ضریب پیرسون استفاده شد.

یافته ها: بیشترین درصد حذف رنگ اسید اورانز ۷ در $\text{pH}=4$ ، مقدار جاذب ۱۰ گرم بر لیتر، زمان تماس ۶۰ دقیقه برای محلول های سینتیک و نمونه واقعی به ترتیب با راندمان ۸۲٪ و ۷۹٪ گزارش شد. غلظت ۶۰ میلی گرم بر لیتر رنگ اسید اورانز، حداقل میزان حذف (۷۸٪) را در محلول واقعی نتیجه داد. همچنین، جذب رنگ اسید اورانز ۷ از ایزو ترم لانگمیر با $R^2=0.99$ و سینتیک واکنش درجه دوم کاذب با $R^2=0.98$ پیروی نمود.

نتیجه گیری: نانو حفره سیلیکایی MCM-41 عامل دار شده با گروه های آلی دی آمینی می تواند جاذبی مناسب برای حذف آلاینده های رنگی به ویژه اسید اورانز ۷ از فاضلاب صنایع نساجی باشد.

واژه های کلیدی: حذف رنگ اسید اورانز ۷، نانو حفره سیلیکایی $\text{NH}_2\text{-MCM-41}$

۱- (نویسنده مسئول) استاد مرکز تحقیقات مهندسی بهداشت محیط و گروه بهداشت محیط دانشگاه علوم پزشکی کرمان، کرمان، ایران
تلفن: ۰۳۴-۳۱۲۲۵۱۲۸، دورنگار: ۰۳۴-۳۱۲۲۵۱۲۸، پست الکترونیکی: m.malakootian@yahoo.com

۲- دانشجوی کارشناسی ارشد مهندسی بهداشت محیط گروه بهداشت محیط دانشگاه علوم پزشکی کرمان، کرمان، ایران

مقدمه

پیشرفت، تجزیه آنزیمی، جذب سطحی و استفاده از فوتوكاتالیستها اشاره کرد [۶].

جذب از مهمترین تکنیک های قابل قبول جهت کاهش غلظت رنگ های حل شده از محلول های آبی است [۷]. جاذب های بسیاری برای حذف فلزات سنگین، مواد آلی، رنگ ها و داروها از سیستم های آبی مورد ارزیابی قرار گرفته اند. با این حال نیاز به تولید جاذب های ارزان قیمت، قابل بازیافت و دارای ظرفیت جذب و انتخاب پذیری بالا موجب شده است که تحقیقات در زمینه تولید جاذب های جدید، همچنان انجام شود. معرفی جاذب های اصلاح شده در دهه اخیر حاصل تلاش های مؤثر پژوهشگران برای پاسخگویی به این نیاز است. جاذب های اصلاح شده در بعضی از موارد بسیار ساده تهیه می شوند و خواص بسیار خوبی از نظر میزان جذب و انتخاب پذیری نسبت به جاذب های معمولی نشان می دهند. جاذب های اصلاح شده شامل طیف وسیعی از مواد متشکل از ساختارهای آلی، معدنی، بسیار طبیعی و زیست بسیار می باشند [۸].

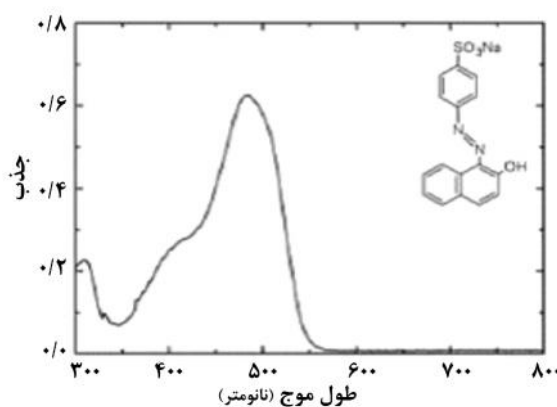
جادب های اصلاح شده حاصل از عامل دار کردن سیلیس مزوحفره (mesoporous) به دلیل داشتن سطح ویژه بالا، تخلخل زیاد، کنترل پذیری و اندازه حفرات یکنواخت، بسیار مورد توجه محققین می باشد. اندازه بزرگ حفرات سیلیس مزوحفره (mesoporous) علاوه بر فراهم آوردن شرایط عامل دار شدن این مواد توسط گروه های عاملی بزرگ، امکان رسیدن راحت جذب شونده به دیواره حفرات و در نتیجه سینتیک سریع جذب فیزیکی و شیمیایی را مهیا می سازد [۹].

عامل دار کردن دیواره حفرات سیلیس مزوحفره به عنوان مسیری ساده و پر بازده به منظور افزایش سرعت و

در سال های اخیر، توسعه صنایع باعث افزایش تولید فاضلاب های صنعتی و آلودگی محیط زیست شده است. رنگ های یکی از مهمترین آلاینده های موجود در فاضلاب های صنعتی می باشند [۱]. رنگ ها، ترکیبات آلی می باشند که شامل دو گروه اصلی chromopore و auxochromes هستند. رنگ های سنتتیک به طور وسیعی در صنایع نساجی مورد استفاده قرار می گیرند. برآوردها نشان می دهد که ۰.۱۵٪ تا ۰.۲۰٪ از رنگ مصرفی در صنایع نساجی وارد پساب خروجی می شود [۲]. تخلیه فاضلاب های رنگی حاصل از صنایع نساجی نه تنها جنبه زیبا شناختی آب های پذیرنده را تحت تأثیر قرار می دهد بلکه منجر به کاهش فرآیند فتوسنتز نیز می گردد [۳]. گزارش ها حاکی از سلطان زایی و جهش زایی رنگ ها در انسان می باشد. رنگ های آزو بزرگترین دسته از رنگ های مصنوعی محلول در آب هستند که از نظر نوع و ساختار دارای بیشترین تنوع می باشند [۴]. رنگ اسیدی نارنجی ۷ از جمله رنگ های منوازو مورد استفاده در صنایع دباغی، تولید کاغذ و صنعت نساجی است. این رنگ حاوی ترکیبات سمی همچون فنولیک و فلزات بوده و همچنین، دارای ترکیبات آلی همانند فرمالین می باشد [۵]. با توجه به موارد مذکور، لازم است که پساب های صنایع نساجی قبل از تخلیه به محیط زیست با استفاده از روش های مناسب مورد تصفیه قرار گیرند. جهت رنگ زدایی فاضلاب های رنگی روش های متفاوتی مورد بررسی قرار گرفته است که از جمله می توان به روش های انعقاد و لخته سازی، اکسیداسیون شیمیایی، تصفیه الکتروشیمیایی، تعویض یون، اکسیداسیون

مواد و روش‌ها

این تحقیق آزمایشگاهی بر روی نمونه سینتیک و فاضلاب واقعی صنعت بافندگی سریرباف کویر کرمان در بازه زمانی مهر لغایت اسفند ۱۳۹۳ در مرکز تحقیقات مهندسی بهداشت محیط دانشگاه علوم پزشکی کرمان انجام گردید. برای سنتز جاذب نانوحفره سیلیکایی- NH_2 -MCM-41، اکسید سیلیس، ستیل تری متیل آمونیوم برمید (CTMAB)، نرمال هگزان، سدیم هیدروکسید، هیدروکلریک اسید ۳۷ درصد از شرکت مرک آلمان و آمینوپروپیل تری متوكسی سیلان از شرکت پنتا جمهوری چک خریداری شد. نمونه واقعی از فاضلاب کارخانه بافندگی سریرباف کویر در شهرک صنعتی خضرا شهر کرمان برداشت و تحت شرایط استاندارد به آزمایشگاه منتقل شد. رنگ اسیدی مورد استفاده با نام تجاری رنگ اسید اورانژ ۷ است که در صنایع نساجی و کاغذسازی استفاده می‌شود. ساختار شیمیایی این رنگ و طیف ماورای بنفش آن در شکل ۱ نشان داده شده است. حداکثر جذب این رنگ در طول موج ۴۹۷ نانومتر است. این رنگ از شرکت الوان ثابت همدان خریداری شد.



شکل ۱- ساختار شیمیایی و طیف UV-Visible رنگ اسید اورانژ ۷

ظرفیت جذب و همچنین افزایش انتخاب‌پذیری این جاذب‌ها، مطرح است. در بین گروه‌های عاملی مختلف، گروه‌های آمینی به دلیل واکنش آسان با گروه‌های سیانول که روی دیواره حفرات وجود دارند و همچنین خواص خوبی که در جذب فلزات سنگین و ترکیبات آلی نشان می‌دهند، بسیار مورد استفاده قرار می‌گیرند. همچنین جاذب‌های SBA-15 و MCM-41 دو جاذب سیلیکایی مزوحفره هستند که به دلیل خواص ساختاریشان برای عامل‌دار شدن و استفاده به عنوان جاذب و کاتالیست مناسب می‌باشند [۱۰].

حذف اسید اورانژ ۷ در راکتورهای کوچک و بزرگ به شیوه الکتروشیمیایی در ایتالیا بررسی شده است که نتایج مطلوبی حاصل گردیده است [۱۱]. جذب اسید اورانژ ۷ توسط ماکروفیت بیومس (Salvinianatans) در ایتالیا انجام شده است و روش اقتصادی و مناسب در حذف رنگ فاضلاب صنایع نساجی می‌باشد [۱۲]. حذف رنگ اسید اورانژ ۳ آر از محیط‌های آبی با روش بیوجذب در سبزوار توسط Saghi و همکاران انجام شد [۱۳]. Malakootian و همکاران در کرمان عملکرد فرایند الکترووفنتون در حذف رنگ راکتیوبلو ۱۹ از محلول‌های آبی را بررسی نمودند [۱۴]. Shahbazi و همکاران در مازندران از نانوحفره سیلیکایی برای حذف یون نیترات بهره جسته‌اند [۱۵]. با توجه به اهمیت موضوع بیان شده، هدف از این تحقیق مطالعه کارایی نانوحفره سیلیکایی MCM-41 اصلاح شده با گروه‌های آلی دی‌آمینی در جذب رنگ اسید اورانژ ۷ می‌باشد.

مدت ۶ ساعت رفلکس گردید. بعد از خنک شدن مخلوط تا دمای محیط نمونه صاف شده توسط ۲۰ میلی لیتر نرمال هگزان شسته شد و تا زمان مصرف در دیسیکاتور جاذب رطوبت قرار گرفت.

آنالیز طیف سنجی مادون قرمز (FTIR) به منظور شناسایی گروه های آلی دی آمینی قرار گرفته روی سطح جاذب، به وسیله دستگاه Fourier transform FTIR (Fourier transform infrared) مدل TENSOR27 ساخت کشور آلمان در دانشگاه باهنر کرمان انجام شد. همچنین شناسایی ساختار کریستالی نمونه، آنالیز پراش پرتو ایکس با استفاده از تشعشع XRD مدل CuK Dستگاه (X'Pert Pro MPD) ساخت شرکت PANalytical با طول موج ۱/۵۴ آنگستروم در شرکت کارآفرینی و فناوری ایران انجام گردید. مساحت سطح، اندازه، حجم حفره جاذب سنتز شده از طریق آنالیز جذب و واجدب گاز نیتروژن (BET) (Brunauer,Emmett and teller) به وسیله دستگاه BelJapan mini II) ساخت شرکت ژاپنی (Belsorp در دانشکده فیزیک دانشگاه صنعتی شریف اندازه گیری شد. آزمایشات در زمان تماس، pH در جاذب و غلظت های متفاوت رنگ اسید اورانژ ۷ برای به دست آوردن شرایط بهینه انجام گرفت. ابتدا محلول یک گرم بر لیتر رنگ اسید اورانژ ۷ تهیه شد. سپس رقت های مختلف رنگ اسید اورانژ ۷ از این محلول به دست آمد. آزمایشات به صورت ناپیوسته و با تغییر فاکتور های pH در مقادیر ۲-۴-۶-۸-۱۰-۱۲ بررسی شد. مدت زمان تماس به ترتیب ۱۵-۳۰-۴۵-۶۰-۹۰-۱۰۵-۱۲۰ دقیقه انتخاب گردید [۱۶].

غلظت اسید اورانژ ۷ بر حسب میلی گرم بر لیتر به ترتیب برابر با ۳۰-۶۰-۹۰-۱۲۰-۱۵۰ و مقدار جاذب

جادب نانو حفره سیلیکایی MCM-41 به روش Mehraban و همکاران تهیه شد. به این منظور مقدار ۰/۶۴ گرم سدیم هیدروکسید در ۲۷ میلی لیتر آب عاری از یون حل شد. سپس مقدار ۱/۸ گرم سیلیسیوم اکسید (Fumed Silica) در دمای ۸۰ درجه سانتی گراد به مدت ۳ ساعت به آن اضافه گردید تا کاملاً حل شود. بعد از سرد شدن در دمای محیط مقدار ۵/۴۶ گرم از ستیل تری متیل (Cetyl Three Methyl Ammonium Bromide) همراه با همزدن شدید در دمای محیط به آن اضافه شد تا محلولی کاملاً یکنواخت با ویسکوزیتی بالا بدست آمد [۱۶]. بعد از یک ساعت، مقدار ۰/۳ میلی لیتر هیدروکلریک اسید به آن اضافه شد. بعد از ۵ دقیقه ۲۴ میلی لیتر آب دیونیزه اضافه گردید. ژل شیری رنگی حاصل شد که به مدت دو ساعت با شدت ۳۰۰ دور در دقیقه همزده شد. سپس مخلوط حاصل به ظرف پلی پروپیلنی منتقل و به مدت ۳ روز در آونی با دمای ۱۰۰ درجه سانتی گراد قرار گرفت. در نهایت محلول پس از رسیدن به دمای محیط توسط صافی معمولی صاف شد و ماده جامد حاصله بعد از چندین بار شستشو با آب مقطر به مدت ۱۲ ساعت در دمای ۱۰۰ درجه سانتی گراد خشک گردید. پودر سفید رنگ حاصل در دو مرحله یعنی ۲ ساعت در ۵۴۰ درجه سانتی گراد و ۶ ساعت در دمای ۱۰۵ درجه سانتی گراد تکلیس (Calcination) شد. برای آمین دار نمودن جاذب از روش H₀ و همکاران استفاده شد [۱۷]. به این ترتیب مقدار ۲/۵ گرم از MCM-41 تکلیس شده در بالنی ته گرد به همراه ۵۰ میلی لیتر نرمال هگزان قرار گرفت. مقدار ۲/۵ گرم معرف ۳ - آمینو پروپیل تری متوكسی سیلان به آن اضافه شد. مخلوط حاصل به

میلی گرم در لیتر، Ce غلظت تعادلی بر حسب میلی گرم در لیتر، M وزن جاذب بر حسب گرم است. کلیه نمونه برداری و آزمایشات بر اساس روش های مندرج در کتاب روش های استاندارد آب و فاضلاب چاپ بیستم انجام گردید. فاضلاب واقعی از مخزن متعادل کننده فاضلاب با فندگی سریباف کویر نمونه برداری و سپس کیفیت شیمیایی آن از نظر BOD(Biochemical oxygen demand)، pH، میزان کدورت، COD(Chemical oxygen demand) اندازه گیری شد. برای تجزیه و تحلیل داده ها از نرم افزار SPSS نسخه ۱۶ و آزمون رگرسیون و ضریب پیرسون استفاده شد.

نتایج

کیفیت فیزیکی و شیمیایی فاضلاب کارخانه با فندگی سریباف کویر کرمان در جدول ۱ ذکر شده است.

جدول ۱- مشخصات کیفیت فیزیکی و شیمیایی فاضلاب خام کارخانه با فندگی سریباف کویر کرمان در سال ۱۳۹۳

انحراف معیار ± میانگین	پارا متر
۵/۹ ± ۲/۲	pH
۲۴۰ ± ۲۰/۱۱	BOD (mg/L)
۵۸۰ ± ۵۶/۷	COD (mg/L)
۹۰ ± ۱۶/۴	LTSS (mg)
۳۸۰۰ ± ۵۱۹/۵	TDS (mg/L)
۱۵۰۰ ± ۲۶۰/۶	EC (μ mhos/cm)
۴۸۰ ± ۶۹/۳	کدورت (NTU)
۱۱۰ ± ۱۹/۷	غلظت رنگ اسید اورانژ ۷ (mg/L)

در شکل ۲، طیف FTIR از جاذب MCM-41 و NH_2^- نشان داده شده است.

در طیف FTIR نمونه MCM-41 شکل ۲- (الف) باند پهن و گسترده در ناحیه $3100\text{-}3700\text{ cm}^{-1}$ مربوط به واکنش ساختار گروه های Si-OH با مولکول آب جذب

اضافه شده به میزان (۱۲-۱۰-۸-۶-۴) گرم بر لیتر بود. اثر پارامترهای ذکر شده با ثابت نگه داشتن تمامی پارامترها و تغییر دادن یکی از آنها بررسی شد. آزمایش ها در اrlen ۲۵۰ میلی لیتری شامل ۱۰۰ میلی لیتر محلول اسید اورانژ ۷ در سرعت ۲۰۰ دور در دقیقه در دمای محیط انجام گردید. بعد از ۱ ساعت که فرایند جذب به مرحله تعادلی رسید، ۵ میلی لیتر از مخلوط برداشته شد و فاز جامد و مایع با استفاده از سانتریفیوژ با سرعت ۳۰۰۰ دور در دقیقه برای ده دقیقه از یکدیگر جدا گردید. به منظور جداسازی ذرات ریز جاذب از فیلتر غشایی با روزنه ۰/۴۵ میکرومتر عبور داده شد و غلظت اسید اورانژ ۷ با استفاده از دستگاه اسپکترو فوتومتر جذب اتمی در طول موج ۴۹۷ نانومتر اندازه گیری شد [۱۶].

به منظور اطمینان از نتایج، کلیه آزمایشات سه بار تکرار گردید و نتایج به صورت میانگین گزارش شد. کلیه آزمایشات تحت شرایط یکسان بر روی نمونه واقعی فاضلاب کارخانه با فندگی سریباف کویر کرمان انجام گرفت.

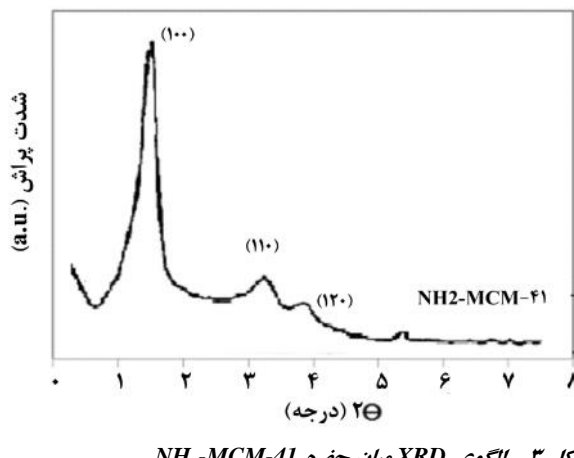
در پایان هر آزمایش جذب، ظرفیت جذب تعادلی عبارت از میلی گرم اسید اورانژ ۷ جذب شده به ازای هر گرم جاذب از رابطه (۱) محاسبه گردید. همچنین درصد حذف (R%) اسید اورانژ ۷ از رابطه (۲) محاسبه شد [۱۸].

$$(1) q_e = (C_0 - C_e)V/M$$

$$(2) \% R = (C_0 - C_e)100 / C_0$$

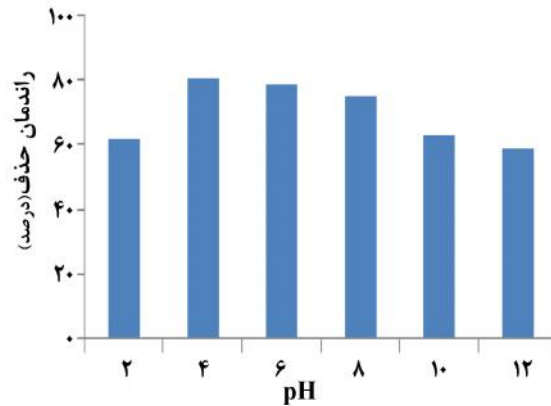
q_e ظرفیت جذب تعادلی بر حسب میلی گرم بر گرم، V حجم محلول بر حسب لیتر، C₀ غلظت اولیه بر حسب

ترتیب در زاویه ۲ معادل با $3/2$ و $3/9$ مشاهده می شوند. حضور این پیکها در زوایای ۲ مؤید تشکیل حفرات با ساختار شش وجهی منظم است. اندازه گیری مساحت سطح با جذب گاز نیتروژن و محاسبه به روش BET انجام شد. نتایج نشان داد که نمونه $\text{NH}_2\text{-MCM-41}$ دارای مساحت $343 \text{ متر مربع، حجم حفره معادل } 17/5$ مسانتی متر مکعب بر گرم و میانگین قطر منافذ $5/3$ نانومتر می باشد.



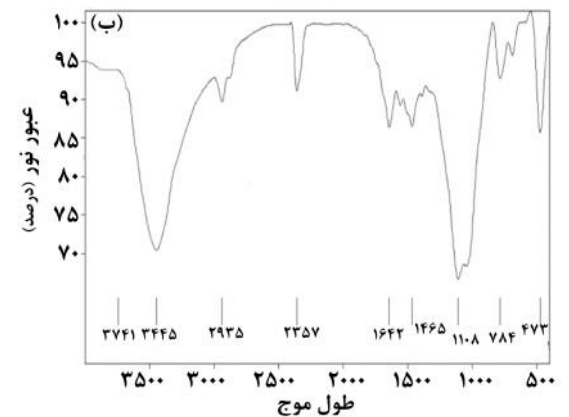
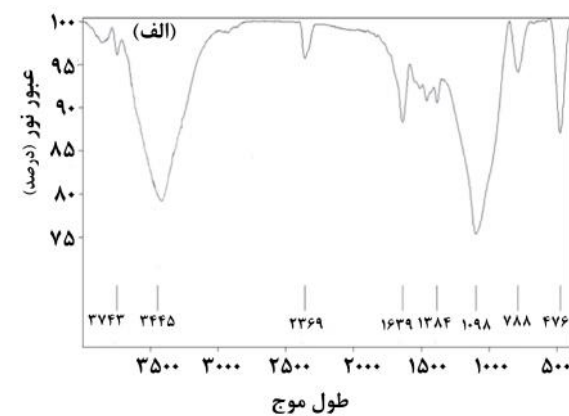
شکل ۳ - الگوی XRD میان حفره $\text{NH}_2\text{-MCM-41}$

نتایج حاصل از تأثیر pH بر میزان جذب رنگ اسید اورانٹ ۷ در نمونه سینتیک واقعی در نمودارهای ۱ و ۲ نشان داده شده است.



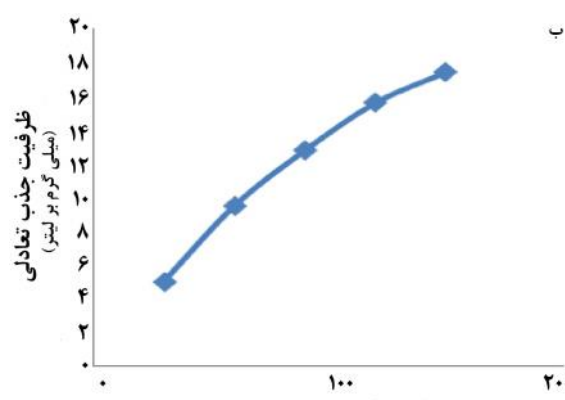
نمودار ۱ - تأثیر pH/ولیه محلول بر میزان جذب رنگ اسید اورانٹ ۷ جاذب $\text{NH}_2\text{-MCM-41}$ در نمونه سینتیک (خلطت رنگ ۰.۶ میلی گرم در لیتر، $\text{pH}=3$ و مقدار جاذب ۰.۱ گرم در لیتر)

شده و مکان های تخریب شده است. برای ارتعاشات-Si-O شد 1099 cm^{-1} کشش غیر متقاض، در ناحیه Si در ناحیه 476 cm^{-1} کشش متقاض و در ناحیه 800 cm^{-1} ارتعاشات $\text{NH}_2\text{-MCM-41}$ نمونه FTIR در طیف خمی دیده می شود. در نواحی ۱۴۶۵-۱۶۴۲ cm^{-1} مشاهده شده در نواحی ۱۱۰۸ cm^{-1} مربوط به ۴۱ در شکل ۲ - (ب) نشان داده شده است. باندهای پهن مشاهده شده در نواحی $3300-3750 \text{ cm}^{-1}$ ارتعاش خمی گروه N-H می باشد. کشش N در ناحیه ۱۰۱۰ با باند گستردگی گروه Si-OH هم پوشانی دارد.

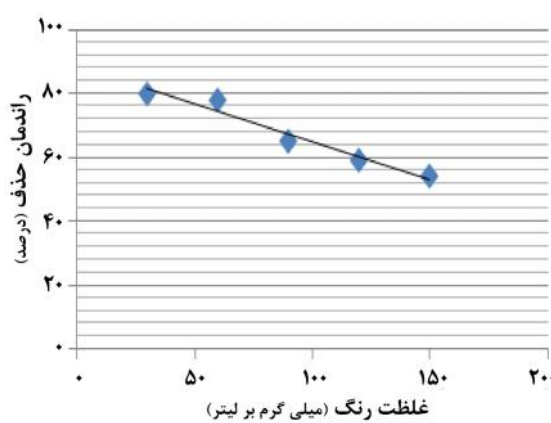


شکل ۲ - (الف) FTIR و (ب) نانو حفره $\text{NH}_2\text{-MCM-41}$

در شکل ۳ طیف XRD(X-Ray powder diffraction) $\text{NH}_2\text{-MCM-41}$ نشان داده شده است. الگوهای از جاذب $\text{NH}_2\text{-MCM-41}$ نشان داده شده است. پیکی با شدت بالا در $2\theta = 1/5$ را پراش پرتو X جاذب پیکی با شدت پائیین به نشان می دهد که در کنار آن دو پیک با شدت پائیین به



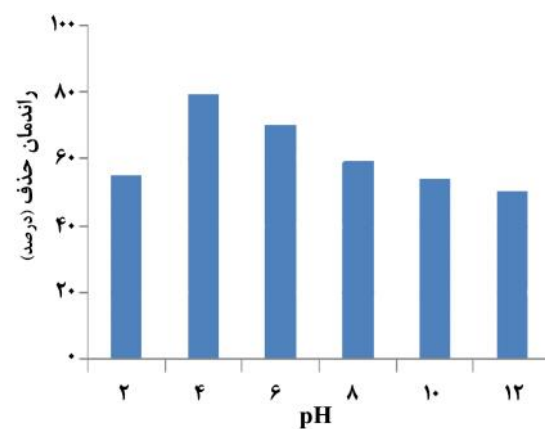
نمودار ۳ - تأثیر غلظت اولیه محلول بر میزان جذب رنگ اسید اورانژ ۷ با جاذب $NH_2\text{-MCM-41}$ در نمونه سینتیک (۳ میلی گرم در لیتر)، (ب) تأثیر غلظت اولیه محلول بر میزان خروجیت جذب جاذب $NH_2\text{-MCM-41}$ و $pH=۳$ و مقدار جاذب ۱۰ گرم در لیتر)



نمودار ۴ - تأثیر غلظت اولیه محلول بر میزان جذب رنگ اسید اورانژ ۷ با جاذب $NH_2\text{-MCM-41}$ در نمونه واقعی (۳ و $pH=۳$ و مقدار جاذب ۱۰ گرم در لیتر)

با افزایش غلظت، راندمان حذف رنگ مورد مطالعه کاهش یافت. غلظت بهینه ۶۰ میلی گرم در لیتر تعیین شد که راندمان حذف در این غلظت ۷۹٪ و خروجیت جذب برابر ۹/۴۸ می باشد. بیشترین راندمان حذف در نمونه واقعی ۷۸٪ مشاهده گردید.

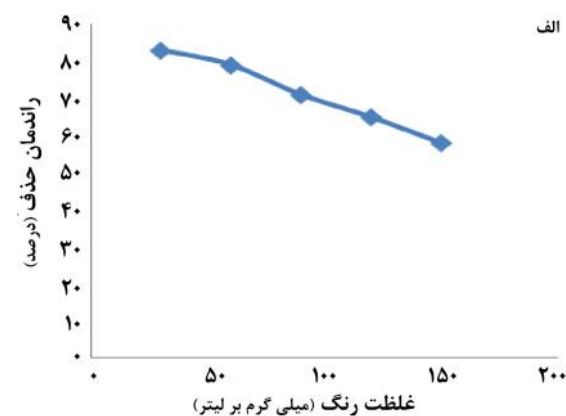
نتایج حاصل از تأثیر در جاذب نانو حفره سیلیکایی بر میزان جذب در نمونه سینتیک و واقعی در نمودارهای ۵ و ۶ نشان داده شده است.



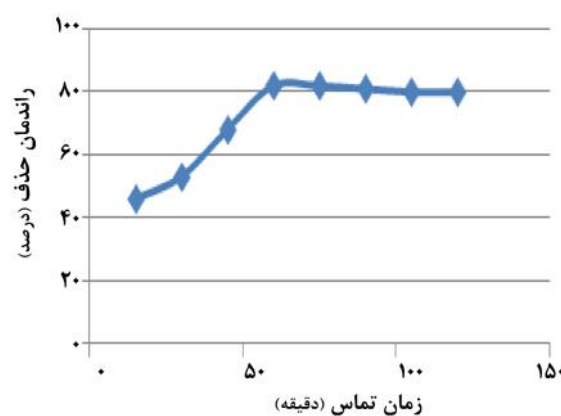
نمودار ۲ - تأثیر pH اولیه محلول بر میزان جذب رنگ اسید اورانژ ۷ با جاذب $NH_2\text{-MCM-41}$ در نمونه واقعی (غلظت رنگ ۶۰ میلی گرم در لیتر، ۳ و مقدار جاذب ۱۰ گرم در لیتر)

با توجه به نتایج بررسی pH ، حذف رنگ اسید اورانژ ۷ در pH برابر ۴ با راندمان ۸۱٪ از بالاترین و در pH برابر ۱۲ از کمترین راندمان حذف برخوردار است. در حالی که بالاترین راندمان حذف در نمونه واقعی در این مرحله از آزمایش ۷۹٪ مشاهده گردید.

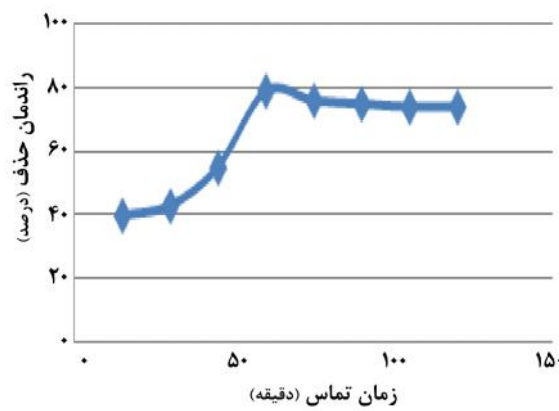
نتایج حاصل از تأثیر غلظت اولیه رنگ اسید اورانژ ۷ بر میزان جذب در نمونه سینتیک و واقعی در نمودارهای ۳ و ۴ نشان داده شده است.



نتایج حاصل از تأثیر زمان تماس بر میزان جذب در نمونه سینتیک و واقعی در نمودارهای ۷ و ۸ نشان داده شده است.

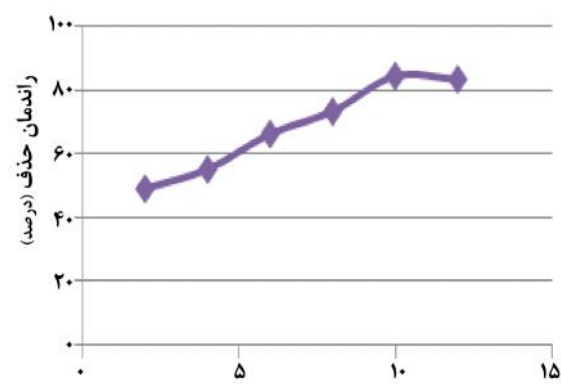


نمودار ۷ - تأثیر زمان تماس بر میزان جذب رنگ اسید اورانژ ۷ با جاذب MCM-41-NH₂ در نمونه سینتیک (pH = ۳) و مقدار جاذب ۱۰ گرم در لیتر)

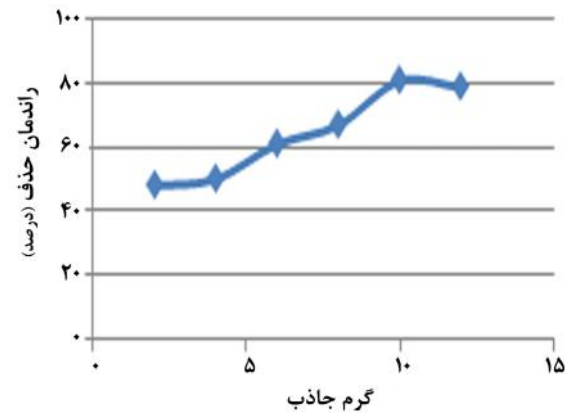


نمودار ۸ - تأثیر زمان تماس بر میزان جذب رنگ اسید اورانژ ۷ با جاذب MCM-41-NH₂ در نمونه واقعی (pH = ۳) و مقدار جاذب ۱۰ گرم در لیتر)

با افزایش زمان تماس آاینده با جاذب راندمان حذف رنگ افزایش یافت. بهترین زمان تماس ۶۰ دقیقه انتخاب گردید که بازدهی حذف به ۸۲٪ رسید و با افزایش زمان تماس تا ۱۲۰ دقیقه درصد راندمان حذف تقریباً ثابت بوده



نمودار ۵ - تأثیر مقدار جاذب بر میزان جذب رنگ اسید اورانژ ۷ با جاذب NH₂-MCM-41 در نمونه سینتیک (pH = ۳) و مقدار جاذب ۱۰ گرم در لیتر)



نمودار ۶ - تأثیر مقدار جاذب بر میزان جذب رنگ اسید اورانژ ۷ با جاذب NH₂-MCM-41 در نمونه واقعی (pH = ۳) و مقدار جاذب ۱۰ گرم در لیتر)

آزمایش جذب در مقادیر مختلف در جاذب شامل ۴-۲-۶-۱۰-۱۲ گرم بر لیتر و در غلظت اولیه ۶۰ میلی گرم بر لیتر و pH برابر با ۴ انجام شد. مقدار بهینه جاذب ۱۰ گرم در لیتر تعیین گردید که با ۸۴٪ از بالاترین راندمان حذف و در ۲ گرم در لیتر از کمترین راندمان حذف برخوردار است. با اعمال شرایط بهینه تعیین شده بر روی نمونه واقعی راندمان حذف ۸۱٪ تعیین گردید.

حاضر مطابقت دارد [۱۹]. در تحقیق دیگری که Moussavi و همکارانش در ایران در حذف رنگ اسید اورانژ ۷ توسط نانو لوله‌های کربنی تک جداره انجام دادند، با افزایش pH راندمان حذف کاهش یافت که با نتایج این مطالعه مطابقت دارد [۲۰]. بین pH و راندمان حذف با رابطه معکوس وجود داشت، همچنین داده‌های آماری رابطه معنی‌داری بین pH و راندمان حذف نشان نداد ($p=0.53$).

میزان بهینه جاذب ۱۰ گرم در لیتر تعیین شد که با ۸٪ از بالاترین راندمان حذف برخوردار می‌باشد. با افزایش در جاذب، به دلیل زیاد بودن مساحت سطح جاذب و در نتیجه افزایش تعداد مکان‌های فعال برای جذب رنگ اسید اورانژ ۷، درصد حذف آلاینده افزایش یافته است. نتایج این مطالعه با نتایج تحقیق Hamzeh و همکاران در استفاده از پسماند کانولا که با افزایش میزان جاذب مقدار جذب افزایش نشان داده است، همخوانی دارد [۱۹]. Sheshmani و همکاران حذف رنگ اسید اورانژ ۷ را با کیتوزان سنجیدند. با افزایش مقدار جاذب میزان حذف رنگ افزایش یافت که با نتایج این مطالعه همخوانی دارد [۲۱].

حذف رنگ اسید اورانژ ۷ با نانو لوله‌های کربنی تک جداره توسط Moussavi و همکارانش بررسی شد، نتایج نشان داد با افزایش در جاذب، درصد حذف افزایش یافت که با نتایج این مطالعه همخوانی دارد [۲۰]. بین مقادیر مختلف جاذب و راندمان حذف با ضریب ییرسون $R^2=0.98$ رابطه مستقیم وجود داشت. تجزیه و تحلیل آماری رابطه معنی‌داری بین مقادیر مختلف جاذب و راندمان حذف نشان نداد ($p=0.68$).

است. با اعمال شرایط بهینه بر روی نمونه واقعی راندمان حذف ۷۹٪ تعیین شد.

پارامترهای مدل فروندلیچ و لانگمیر برای جذب رنگ NH₂-MCM-41 در جدول ۲ آورده شده‌اند.

نتایج حاصل از بررسی ایزوترم‌های جذب نشان داد که جذب رنگ اسید اورانژ ۷ با نانو حفره سیلیکایی از ایزوترم لانگمیر با توجه به ضریب همبستگی بالا ($R^2=0.99$) تعیین می‌نماید.

جدول ۲ - پارامترهای مدل فروندلیچ و لانگمیر برای جذب رنگ اسید اورانژ ۷

پارامترهای مدل فروندلیچ	پارامترهای مدل لانگمیر				
R^2	b	$q_m(\text{mg/g})$	R^2	N	$K_f(1/\text{mg})$
۰.۹۹		۰/۰۵	۰.۹۷	۲/۰۲	۲/۴۲

نتایج حاصل از بررسی سینتیک فرایند نشان داد که جذب رنگ اسید اورانژ ۷ از سینتیک درجه دوم کاذب با ضریب همبستگی ($R^2=0.98$) تعیین می‌نماید. نتایج نشان داد مقدار بدست آمده برای $qe=11.2(\text{mg/g})$ و ثابت سرعت آن (k_2) برابر با 0.005 s^{-1} شد.

بحث

بیشترین میزان حذف در pH اسیدی انجام شد. افزایش راندمان حذف رنگ در pH پایین را می‌توان به دلیل حضور یون H₃O⁺ دانست. یون H⁺ با دادن پروتون با کاتیون‌های رنگ پیوند ایجاد کرده که این پیوند باعث می‌شود میزان حذف کاتیون‌های رنگ بهتر انجام گیرد. طی مطالعه‌ای که در ایران توسط Hamzeh و همکارانش انجام گرفت از پسماند کانولا برای حذف رنگ استفاده شد. در این مطالعه حذف رنگ با فزایش pH کاهش یافت که با نتایج تحقیق

مطالعه Hamzeh و همکارانش در کرج، بیش از ۹۵٪ حذف در ۵ دقیقه اول صورت گرفت زیرا مکانهای جذب در ۵ دقیقه اول به علت سرعت زیاد واکنش بین جاذب و جذب شونده اشغال شدند. با افزایش زمان تماس، میزان جذب کاهش یافت که با نتایج مطالعه حاضر که با افزایش زمان تماس حذف رنگ افزایش یافته است، متناقض می‌باشد [۱۹].

حذف رنگ اسید اورانژ ۷ از آب با استفاده از رزین آنیونی Amberlite توسط Greluk و همکاران انجام شد. با افزایش زمان تماس میزان حذف افزایش یافت و با نتایج این تحقیق همخوانی دارد [۲۳].

بين زمان تماس و راندمان حذف با $r=0.83$ رابطه مستقیم وجود داشت و داده‌های آماری رابطه معنی‌داری بین غلظت و راندمان حذف نشان نداد ($p=0.71$).

ایزوترم جذب چگونگی فعل و انفعالات بین جاذب و جسم حل شونده را تشریح می‌نماید. تحلیل ایزوترم جذب به منظور دستیابی به یک معادله جهت نمایش دقیق نتایج و طراحی سیستم‌های جذب بسیار مهم است [۲۴] به طور کلی، از مطالعه ایزوترم‌ها بر می‌آید که جذب رنگ اسید اورانژ ۷ بر روی جاذب نانو حفره سیلیکایی با ارزشی و قدرت جذب بیشتری صورت می‌گیرد. سیننتیک جذب به خواص فیزیکی و شیمیایی ماده جاذب بستگی دارد که مکانیزم جذب را تحت تأثیر قرار می‌دهد. نتایج نشان داد در استفاده از پسماند کانولا و نانولوله‌های کربنی برای حذف رنگ اسید اورانژ ۷، ایزوترم جذب از مدل ایزوترمی لانگمیر تعیت می‌کند که با نتایج این مطالعه همخوانی دارد [۱۹-۲۰].

نتایج تحقیق نشان داد با افزایش غلظت اولیه رنگ اسید اورانژ ۷ از ۳۰ تا ۱۵۰ میلی‌گرم بر لیتر راندمان حذف کاهش یافت. افزایش راندمان حذف در غلظت‌های پایین به این دلیل است که هر چه غلظت ماده آلاینده اولیه کمتری در برخورد با جاذب قرار گیرد، احتمال جذب بیشتر می‌شود. غلظت بهینه ۶۰ میلی‌گرم در لیتر بود. تحقیقی که Moussavi و همکاران در حذف رنگ اسید اورانژ ۷ توسط نانو لوله‌های کربنی تک جداره انجام دادند، نشان داد با افزایش غلظت رنگ اسید اورانژ ۷، درصد حذف کاهش یافت که با نتایج این مطالعه همخوانی دارد [۲۰]. در مطالعه Hamzeh و همکاران، با افزایش غلظت اولیه رنگ، میزان حذف کاهش یافت که با یافته‌های این مطالعه همخوانی دارد [۱۹].

Daneshvar و همکاران حذف رنگ اسید اورانژ ۷ را از محلول‌های آبی توسط پرتوهای فرابینفس در حضور اکسید روی بررسی نمودند که با افزایش غلظت رنگ میزان حذف کاهش یافت و با نتایج این تحقیق همخوانی دارد [۲۲]. بین غلظت و راندمان حذف با $r=-0.99$ رابطه معکوس وجود داشت. داده‌های آماری رابطه معنی‌داری بین غلظت و راندمان حذف نشان نداد ($p=0.71$).

با افزایش زمان تماس آلاینده با جاذب راندمان حذف رنگ افزایش یافت. این افزایش جذب می‌تواند ناشی از افزایش تعداد برخوردهای بین آلاینده و جاذب باشد که هر چه زمان ماند بیشتر شود، احتمال برخورد بین جاذب و آلاینده افزایش می‌یابد و در نتیجه راندمان حذف بیشتر می‌شود. بهترین زمان تماس ۶۰ دقیقه انتخاب گردید که بازدهی حذف به ۸۲٪ رسید و با افزایش زمان تماس تا ۱۲۰ دقیقه درصد راندمان حذف تقریباً ثابت بوده است. در

تولید می‌شوند و استفاده از آنها در ابعاد وسیع در گرو مطالعات بیشتر در زمینه مکانیزم جذب آنها و همچنین وجود داده‌های تجربی و بهبود بیشتر مدل‌های جذب است.

تشکر و قدردانی

این پژوهش در مرکز تحقیقات مهندسی بهداشت محیط دانشگاه علوم پزشکی کرمان و با حمایت معاونت تحقیقات و فناوری این دانشگاه انجام یافته، بدین وسیله از مساعدت‌های آنان که هموار کننده انجام شده است. این پژوهش بوده است سپاسگزاری می‌نماید.

نتیجه‌گیری

نتایج حاصل از تحقیق حاضر نشان می‌دهد که جاذب نانوحفره سیلیکایی MCM-41 اصلاح شده با آمین یعنی $\text{NH}_2\text{-MCM-41}$ به دلیل داشتن مساحت سطح بالا و داشتن گروه‌های عاملی آمینی، جاذبی مؤثر و کارآمد برای حذف رنگ‌ها از فاضلاب صنایع نساجی است. جاذب‌های اصلاح شده که به تازگی معرفی شده‌اند امکان حذف آلاینده‌های آلی و معدنی را امکان‌پذیر نموده‌اند. با این حال، این نوع از جاذب‌ها هنوز در ابعاد آزمashگاهی

References

- [1] Santhi T, Manonmani S, Vasantha VS, Chang YT. A new alternative adsorbent for the removal of cationic dyes from aqueous solution. *Arab J Chem* 2011 .In press.
- [2] Yousefi Z, Mohseni Bandpei A, Dianati Tileki R, Malaki A, Mohammadpur R, Ghahramani E. Evaluation of the Combined GAC-SBR System Performance in the Removal of Yellow 3 and Disperse Yellow 3 Reactive Dyes from the Waste. *J of Mazandaran Univ Med Sci* 2012 ; 22(1): 41-9. [Farsi]
- [3] Ghaneian MT, Dehvary M, Ehrampoush MH. Application of Cuttle Fish Bone Powder in the removal of reactive red 198 dye from textile synthetic wastewater in alkaline condition. *14th National Congress of Environmental Health Engineering Yazd*, 2011. [Farsi]
- [4] Ghaneian MT, Ehrampoush M, Dehvary M. A Survey of the Efficacy of Cuttle Fish Bone Powder in the Removal of Reactive Red 198 dye from Aqueous Solution. *J Yazd Univ Med Sci* 2011; 23(4): 127-38. [Farsi]
- [5] Elizalde Gonzalez MP, Hernandez Montoya V. Removal of acid orange 7 by guava seed carbon: A four parameter optimization study. *J Hazard Mater* 2009; 168(1): 515-22.
- [6] Mohamed M, Mater M. Characterization, adsorption and photocatalytic activity of vanadium-doped TiO₂ and sulfated TiO₂ (rutile) catalysts: Degradation of methylene blue. *J Mol Catalysis Chemic* 2006;255(2): 53-61. [Farsi]
- [7] Ehrampoush MH, Ghanizadeh GH, Ghaneian MT. Equilibrium and Kinetics study of Reactive Red 123 dye Removal from aqueous solution by Adsorption on

- Eggshell. *J Environ Health Sci Eng* 2011; 8(2): 2101-8 . [Farsi]
- [8] Serna Guerrero R, Belmabkhout Y, Sayari A. Influence of regeneration conditions on the cyclic performance of amine-grafted mesoporous silica for CO₂ capture: An experimental and statistical study. *J Chem Eng Sci* 2010; 65(14): 4166-72.
- [9] Cytak A, Erdem B, Erdem S, Oksüzöđlu RM. Synthesis, characterization and catalytic behaviour of functionalized mesoporous SBA-15 with various organo-silanes. *J Colloid Interf Sci* 2011;45:102-9.
- [1] Yokoi T, Kubota Y, Tatsumi T. Aminofunctionalized mesoporous silica as base catalyst and adsorbent. *Appl Catal A: Gen* 2012; 24(3) :90-6.
- [11] Scialdone O, Galia A, Sabatino S. Abatement of Acid Orange 7 in macro and micro reactors. Effect of the electrocatalytic route. *Appl Catal B: Environ* 2014; 148(149): 473-83.
- [12] Pelosi B T, Lima KS, Vieira GA. Acid orange 7 dye biosorption by salvinia natans biomass. *Chem Eng- T* 2013; 32: 1051-56.
- [13] Saghi MH, Allah abadi A, Rahmani Sani A, Vazeiri T, Hekmatshoar R. Removal of Reactive Orange 3 dye from aqueous solution by biosorption technology. *Quarterly J Sabzevar Univ Med Sci* 2012; 19(2): 127-35. [Farsi]
- [14] Malakootian M, Asadi M, Mahvi AH. Evaluation of Electro-Fenton Process Performance for COD and Reactive Blue 19 Removal from Aqueous Solution. *Iran. J. Health & Environ* 2013; 5(4): 433. [Farsi]
- [15] Shahbazi A, Ebrahimi Gatkash M, Younesi H. Nitrate Removal from Aqueous Solution Using Nanoporous MCM-41 Silica Adsorbent Functionalized with Diamine Group. *J Water and Wastewater* 2011; 1: 69-76. [Farsi]
- [16] Mehraban Z, Heidari A, Younesi H. Removal of Ni(II) Cd(II) and Pb(II) from a ternary aqueous solution by amino functionalized mesoporous and nano mesoporous silica. *J Chem Eng* 2009; 153(1-3): 70-9. [Farsi]
- [17] Ho KY, McKay G, Yeung KL. Selective adsorbents from ordered mesoporous silica. *Langmuir* 2003;19(7): 3019-24.
- [18] Riaz U, Ashraf SM. Semi-conducting poly (1-naphthylamine) nanotubes: A pH independent adsorbent of sulphonate dyes. *Chem Eng J* 2011; 174(2-3): 546-55.
- [19] Hamzeh Y, Izadyar S, Azadeh E, Abyaz A, Asadollahi Y. Application of Canola StalksWaste as Adsorbent of Acid Orange 7 fromAqueous Solution. *J. Health & Environ* 2011; 4(1): 49-56. [Farsi]
- [20] Moussavi SP, Emamjome M M, Ehrampoush MH, Dehvari M, Jamshidi S. Removal of Acid Orange 7 Dye from Synthetic Textile Wastewater by Single-Walled Carbon Nanotubes: Adsorption Studies Isotherms and Kinetics. *J Rafsanjan Univ Med Sci* 2013; 12(11): 908-18. [Farsi]

- [21] Sheshmani S, Ashori A, Hasanzadeh S. Removal of Acid Orange 7 from aqueous solution using magnetic graphene/chitosan: a promising nano-adsorbent. *Int J Biol Macromol* 2014 ; 68: 218-24.
- [22] Daneshvar N, Rasoulifard M H, Khataee AR, Hosseinzadeh F. Removal of C.I. Acid Orange 7 from aqueous solution by UV irradiation in the presence of ZnO nanopowder. *J Hazard Mater* 2007; 143(1-2): 95-101.
- [23] Greluk M, Hubicki Z. Efficient removal of Acid Orange 7 dye from water using the strongly basic anion exchange resin Amberlite IRA-958. *Desalination* 2011; 278(1-3): 219-26.
- [24] Wan Ngah WS, Hanafiah M. Adsorption of copper on rubber (Heveabrasiliensis) leaf powder: Kinetic equilibrium and thermodynamic studies. *J Biochem Eng* 2008; 39(3): 521-30.

Assessing the Performance of Removal Acid Orange 7 by from Aqueous Solutions and Textile Waste Water by Nanoporous MCM-41 Silica Absorbent Functionalized by Diamine Group

M. Malakootian¹, M. Macky²

Received: 11/07/2015 Sent for Revision: 29/09/2015 Received Revised Manuscript: 10/02/2016 Accepted: 20/02/2016

Background and Objectives: The dyestuff manufacturing and textile industries consume a high volume of water and produce a great amount of wastewater containing various toxic substances. Removal of dyes from water by absorption processes has received considerable attention. In the present study, removal of Acid orange 7 from aqueous solution using the mesoporous (Mobil Composition of Matter No-41) MCM-41 silica functionalized by diamine group (NH_2 -MCM-41) was investigated.

Materials and Methods: This experimental study was done in samples of synthetic and real wastewater from Kerman Kavir baf Sarir factory within six months. In the first place, the nanoporous MCM-41 silica absorbent was synthesized and, then it was functionalized by diamine groups. The influence of pH, absorbent amount and time on the removal of Acid orange 7 was evaluated. Then, the optimal conditions for each of these parameters were determined. The same experiments were done for samples of real wastewater. In order to understand the process of absorption, kinetics of absorption isotherms equilibrium was also studied. SPSS software and regression were used to analyze the data.

Results: The highest percentage of Acid orange 7 absorption was observed at pH=4, Retention time of 60 Minutes, absorbent amount of 10g/L for synthetic solution with removal efficiency of 82% and for actual solution with the efficiency of 79%. Acid orange 7 dye with density of 60 ml/L resulted in at most 78% removal rate in the real solution. The findings revealed that the removal of Acid orange 7 followed the freundlich isotherm ($R^2=99\%$) and the second order synthetic model ($R^2=98\%$).

Conclusion: The results showed that the NH_2 -MCM-41 materials are effective absorbents for the dye removal from textile wastewater, especially AO7 dye.

Key words: Removal Acid Orange 7, Nanoporous Silica NH_2 -MCM-41

Funding: This study was funded by research deputy of Kerman University of Medical Sciences.

Conflict of interest: None declared.

Ethical approval: The Ethics Committee of Kerman University of Medical Sciences approval the study.

How to cite this article: Malakootian M, Macky M. Assessing the Performance of Removal Acid Orange 7 Dye from Aqueous Solutions and Textile Waste Water by Nanoporous MCM-41 Silica Adsorbent Functionalized by Diamine Group. *J Rafsanjan Univ Med Sci* 2016; 15(1): 37-50. [Farsi]

1- Prof. of Environmental Health Engineering Research Center and Department of Environmental Health, Kerman University of Medical Sciences, Kerman, Iran

(Corresponding Author) Tel: (034) 31325128, Fax: (034) 31325128, E-mail: m.malakootian@yahoo.com

2- MSc student in Environmental Health Engineering, Department of Environmental Health, Kerman University of Medical Sciences, Kerman, Iran